

**Universidade Estadual de Maringá**  
**Centro de Tecnologia**  
**Departamento de Informática**  
**Bacharelado em Ciência da Computação**  
**Trabalho de Conclusão de Curso - TCC 2010**

**Tcl JIT**

Relatório Técnico 2

Guilherme Henrique Polo Gonçalves  
Orientador: Prof. Dr. Anderson Faustino da Silva

---

Guilherme Henrique Polo Gonçalves

---

Prof. Dr. Anderson Faustino da Silva

Maringá, 26 de setembro de 2010

# Tcl JIT

Guilherme Henrique Polo Gonçalves

Orientador: Prof. Dr. Anderson Faustino da Silva

## Resumo

Linguagens de programação interpretadas têm trocado performance por maior expressividade, flexibilidade, dinamicidade, entre outros. A reescrita de trechos de código críticos em linguagens compiladas tem sido empregada como meio de reduzir o impacto da máquina virtual no tempo de execução de programas. Diante disso, um compilador JIT para a linguagem de programação Tcl é proposto como forma de diminuir a necessidade de tal reescrita de código. Um modo misto de execução é escolhido, fazendo com que execução de código de máquina, gerado por esse compilador dinâmico, e a interpretação pura se alternem. Trechos a serem compilados são estabelecidos como procedimentos por inteiro, tendo a compilação dos mesmos disparadas no momento que atingirem um limite de execuções realizadas com sucesso. Simplicidade, manutenibilidade e flexibilidade são características que serão seguidas na construção dessa ferramenta. Conclusões a respeito de geração de código manual, máquinas virtuais baseadas em pilha e também sobre aquelas baseadas em registradores são feitas de acordo com o desenvolvimento do projeto até o momento.

*Palavras-chave:* Tcl, JIT, código de máquina

# 1 Introdução

Linguagens de programação interpretadas têm sacrificado performance em favor de um alto nível de abstração do funcionamento da máquina envolvida, possibilitando maior expressividade, facilidade de desenvolvimento, portabilidade, flexibilidade, dinamicidade, entre outras características. Especificamente, a linguagem de programação Tcl (*Tool Command Language*) teve como um de seus maiores objetivos a facilidade de incorporação (*embedding*) a programas que desejassem ter uma linguagem de comandos (OUSTERHOUT, 1989). Uma interface simples e extensível para aplicações em linguagem C era o fator motivante de seu uso. Programas inteiramente em Tcl eram vistos como pequenos scripts, muitos talvez de uma linha no máximo (OUSTERHOUT, 1989). Entretanto, aplicações em Tcl com milhares de linhas, como por exemplo exmh (WELCH, 1995), OpenACS (HERNÁNDEZ, 2005) ou mesmo a suíte de testes do GDB (*GNU Debugger*) (GILMORE; SHEBS, 2010), tem surgido e a reescrita de trechos críticos em C vem sendo aplicada para reduzir o impacto da máquina virtual no tempo de execução.

Outra forma de melhorar o desempenho de linguagens e, portanto, reduzir a necessidade de reescrita de código em linguagens compiladas, é por meio da utilização da compilação JIT (*Just-In-Time*) que realiza tradução de código sob demanda. No caso deste trabalho, estamos interessados na tradução de *bytecodes* da máquina virtual Tcl para código de máquina durante o tempo de execução. Informações acerca do programa em execução são coletadas conforme necessário para guiar a compilação dinâmica. Portanto, linguagens tipicamente difíceis de serem analisadas e compiladas estaticamente, devido a uso de, por exemplo, tipagem dinâmica ou escopo dinâmico, ganham a oportunidade de melhoria de desempenho com uso de tal sistema de compilação.

O presente trabalho pretende melhorar o desempenho da linguagem Tcl, reduzindo o tempo de decodificação e interpretação de *bytecodes* por meio da implementação e implantação de um compilador JIT na mesma. Diversos trabalhos, como (DEUTSCH; SCHIFFMAN, 1984) para a linguagem Smalltalk, Jalapeño (ALPERN et al., 2000) para Java, Psycho (RIGO, 2004) para Python ou a implementação do SELF-93 (HÖLZLE, 1994), demonstraram resultados bastante significativos ao implantar tal método de compilação. Pretende-se ainda manter um nível de manutenibilidade e flexibilidade adequado, permitindo extensões e futuro desenvolvimento sobre este trabalho inicial.

Um compilador JIT requer que as estruturas internas sejam suficientemente eficientes, caso contrário não se torna viável o uso de um compilador otimizador em tempo de execução. As escolhas a cerca de quais representações intermediárias utilizar, como estruturar os dados, quais otimizações aplicar e algoritmos para diversas fases da compilação, devem

ser feitas de forma a conseguir balancear baixo tempo de compilação com código gerado de alta qualidade. Ainda há o quesito de consumo de memória principal, que, apesar da crescente capacidade disponível, ainda costuma ser um recurso escasso em dispositivos embarcados. Sabe-se que o interpretador Tcl está presente em roteadores da Cisco, pois vem incluso no Cisco IOS (*Internetwork Operating Systems*), mas esse trabalho não tem como foco tal tipo de dispositivo e, portanto, consumo de memória não será um dos pontos levados em consideração. Porém, entre os fatores complicadores consideramos também a manutenibilidade do sistema. Um nível muito alto de abstração, como dito no início do texto, impediria a utilização de um programa de desempenho crítico e, por outro lado, um nível muito baixo dificultaria a correção/detecção de problemas e melhorias gerais. Uma alternativa para esse problema vem sendo desenvolvida no projeto PyPy (RIGO; PEDRONI, 2006), onde um interpretador para uma linguagem qualquer é escrito em RPython (uma implementação mais restrita da linguagem Python) e o PyPy realiza a tradução do mesmo para a linguagem C incluindo (atualmente) juntamente um compilador JIT. Entretanto, um dos objetivos do trabalho discutido aqui é analisar como um sistema de tamanho reduzido compete com sistemas mais robustos. Não se tem a intenção de fornecer um ambiente de alto nível para construção de outras máquinas virtuais com ou sem compiladores JIT para Tcl, mas sim uma implementação específica e direta. A escolha da linguagem C reflete esse objetivo porque não adiciona novas dependências ao núcleo da linguagem Tcl além de possibilitar criação de programas com desempenho aceitável.

Procura-se visar a simplicidade, de forma que o trabalho desenvolvido possa servir de base para expansão a novas arquiteturas e também para aplicação de técnicas de compilação diversas sob a Tcl. Na representação intermediária, quádruplas são escolhidas para formar blocos básicos e esses, por sua vez, são utilizados para definir grafos de fluxo de controle que são diretamente utilizados na geração de código e também podem servir de entrada a representação SSA (*Static Single Assignment*). A arquitetura IA-32 foi escolhida como alvo, pois está presente em boa parte dos computadores de uso pessoal, porém a linguagem Tcl atualmente executa em várias outras arquiteturas. Nesse sentido, permitir portar para IA-64, ARM, e outras, sem tornar a tarefa demasiadamente complicada faz parte da simplicidade que se pretende obter.

A seção 2 realiza uma revisão bibliográfica relevando trabalhos que, de alguma forma, buscaram melhorar a performance da Tcl. Também descrevemos brevemente alguns projetos de compiladores JIT que apresentam alguma semelhança com o nosso. Em seguida, na seção 3 é descrito uma proposta um pouco mais detalhada a respeito desse compilador. Na seção 4 alguns detalhes do que já foi desenvolvido são apresentados, incluindo a estrutura atual para quádruplas e blocos básicos, código de máquina para IA-32, e também um pouco sobre a instalação e execução do compilador JIT e do código nativo. As demais

seções se destinam a mencionar dificuldades encontradas até aqui, além de descrever o que será feito a partir do ponto em que se encontra o trabalho.

## 2 Revisão Bibliográfica

A linguagem Tcl já obteve ganhos de performance em diferentes estudos feitos. Um deles, que atualmente faz parte da implementação da linguagem, descrito em Lewis (1996), é a geração e a interpretação de *bytecodes*. Anterior a esse trabalho, foi demonstrado em Sah (1994) que o *parsing* do código realizado a todo momento para sua reinterpretação e também a conversão excessiva entre tipos de dados, pois a Tcl trata tudo como *string*, eram os grandes consumidores do tempo de execução. Com esse trabalho feito, a linguagem passou a utilizar representação dupla para os valores presentes na execução do programa. Uma representação é interna, possivelmente mais eficiente para se trabalhar. A outra é a típica representação em *string* que a linguagem sempre usou. Caso uma delas não esteja disponível, a outra é utilizada para recriar essa representação se necessário.

Um trabalho mais recente, descrito por Vitale e Abdelrahman (2004), lida com a eliminação do *overhead* de decodificação dos *bytecodes*, introduzido pelo trabalho descrito anteriormente, fazendo uso de *templates* que contém as instruções em código nativo utilizadas para interpretar cada *bytecode*. Esse código é obtido por meio da compilação do próprio interpretador Tcl e cada *template* é copiado múltiplas vezes, numa área de memória alocada em tempo de execução, conforme a quantidade de cada *bytecode* gerado. Nesse mesmo trabalho, o interpretador foi modificado de forma a sempre executar somente tal código formado por uma concatenação de *templates*, eliminando o *overhead* de decodificação. Demonstrou-se que em certos testes o desempenho da linguagem pode melhorar em até 60% com a aplicação dessa técnica. Esse trabalho é provavelmente o mais próximo, quando considerando somente a Tcl, do que se pretende produzir aqui. Ele não gera código, mas copia código já gerado por um compilador estático e replica conforme necessário, fazendo os devidos ajustes, em tempo de execução. Por um lado o tempo de “compilação” é bastante baixo, porém, não dá espaço para técnicas de otimização e assim limita o potencial de melhoria de desempenho.

Outros trabalhos, para diferentes linguagens, se assemelham mais com a proposta aqui discutida. A busca por máquinas virtuais de alta performance tem, atualmente, se dirigido principalmente a linguagem Java. É comum a presença de compiladores JIT em máquinas virtuais para essa linguagem, cada um com diferentes características. A JUDO (CIERNIAK; LUEH; STICHNOTH, 2000), faz uso de compilação dinâmica com dois tipos de compiladores e coleta informações em tempo de execução. O primeiro desses com-

piladores é um mais simples, que gera código rapidamente, destinado a compilação de métodos invocados pela primeira vez. O segundo compilador é utilizado quando informações coletadas indicam que certos métodos são executados muito frequentemente e, portanto, estes podem se beneficiar com a aplicação de otimizações. Essa recompilação dinâmica é feita com o intuito de balancear o tempo gasto na compilação com o tempo efetivamente gasto na execução do programa. Esse sistema trabalha com a compilação de métodos por inteiro, assim como o trabalho proposto aqui. Enquanto isso, o trabalho discutido em Suganuma, Yasue e Nakatani (2003) avalia a aplicação de compilação dinâmica a regiões de código, evitando a compilação de trechos raramente executados. Além disso, esse sistema utiliza um modo misto de execução, na qual interpretação e execução de código nativo se alternam. Nesse ponto, nosso trabalho e o de Suganuma, Yasue e Nakatani (2003) se assemelham.

Nos dois trabalhos sobre JIT mencionados acima não há uma descrição a cerca das representações intermediárias (IR) utilizadas. Porém, um outro trabalho apresentado sobre a JVM (*Java Virtual Machine*) CACAO (KRALL; GRAFL, 1997), descreve algo parecido com a nossa proposta. De forma semelhante com a “TVM” (*Tcl Virtual Machine*), a JVM tem uma arquitetura de pilha e a CACAO faz uma conversão para uma representação orientada a registradores com uso de poucas instruções. O artigo por Suganuma et al. (2004) vai além, exibindo a evolução de uma JVM desenvolvida na IBM onde, inicialmente, era utilizado uma IR baseado em pilha, porém mais compacta que a representação em *byte-codes* da Java, e que mais tarde passou também a se basear em registradores. Os autores argumentam que para conseguir balancear performance e tempo foi necessário, além de outros avanços, fazer uso de 3 representações: aquela que já existia (chamada de EBC – *Extended Bytecode*) e de mais duas baseadas em registradores. Cada uma delas recebe um conjunto de otimizações, sendo feito propagação e cópias de constantes, eliminação de código morto, eliminação de verificação de exceção, e algumas outras, enquanto que na forma de quádruplas. A última dessas aparece na forma SSA, com os nós sendo formados por quádruplas.

### 3 Proposta

A seguir é discutido a proposta atual do projeto e sua evolução ao longo da implementação.

Para chegar ao código de máquina final, esse projeto se propôs em um primeiro momento estudar e definir qual subconjunto da linguagem poderia se beneficiar mais com tal técnica. O subsistema de Entrada/Saída, por exemplo, dificilmente ganharia em desempenho

com compilação dinâmica uma vez que o tempo gasto para transferência e aguardo por dispositivos costuma ser muito maior que o tempo das outras operações envolvidas. Por outro lado, operações aritméticas podem ser bastante favorecidas. O trabalho feito no Psycho, mostra melhoria de 109 vezes no tempo de execução para aritmética de inteiros e 10,9 vezes em aritmética de ponto flutuante (RIGO, 2004). Após essa primeira análise, vê-se que entre todos os *opcodes* definidos cerca de 100 deles são de uso geral, enquanto que o restante é dedicado a alguns poucos comandos pré-definidos. Além disso, por volta de 20 deles realizam a mesma tarefa mas trabalham com operandos de tamanhos diferentes (1 ou 4 bytes). Também encontramos que dois *opcodes* são obsoletos, reduzindo um pouco mais o subconjunto de trabalho.

Em paralelo ao requisito acima, foi iniciado o projeto e implementação de uma representação intermediária (IR) de nível médio. Na versão anterior dessa proposta foi mencionado a existência de uma IR de baixo nível, mas, baseado na experiência obtida durante a implementação do gerador de código de máquina, concluiu-se que a representação atual é melhor classificada como de nível médio devido a distância da máquina alvo. Também num primeiro momento sugerimos utilizar um conjunto reduzido de instruções (RISC), assim como é feito na *GNU lightning* (FREE SOFTWARE FOUNDATION, 2007), para construir uma árvore de instruções mais próximas da máquina alvo. Parte dessa decisão inicial ainda se mantém, o uso de algo parecido com RISC, mas partimos para uso de quádruplas e sugerimos o uso da representação SSA, que seria seguida dessa outra. Atualmente o uso de SSA se enquadra em um trabalho futuro. A escolha inicial por árvores foi devido a existência de diversos métodos para seleção de instruções que trabalham sobre essa forma de representação (ERTL; CASEY; GREGG, 2006), mas trabalhar com quádruplas se mostrou simples.

O sistema de compilação dinâmica precisa ser capaz de determinar quando iniciar e parar a geração de código. Neste projeto atualmente é feito uso dos limites de um procedimento como pontos de início e parada. Também é interessante que o sistema colete informações, como de tipos utilizados, para possivelmente permitir gerar código mais específico para alguns trechos ou também analisar a forma com que certos procedimentos são mais frequentemente utilizados. Alguns tipos numéricos da Tcl vem sendo coletados durante a interpretação pela máquina virtual mas ainda não são utilizados na compilação JIT.

Após essas etapas pretendia-se aplicar pelo menos algumas das otimizações clássicas tais como remoção de código morto, propagação de constantes e movimentação de código. A etapa de otimização foi realocada para algum momento após a implementação do gerador de código estar mais completo.

Chegamos, assim, na fase de seleção de instruções seguida de alocação de registradores.



Há diversos algoritmos, como *Maximal Munch*, seleção com uso de programação dinâmica ou NOLTIS (KOES; GOLDSTEIN, 2008) para seleção de instruções além de vários outros, por coloração de grafos ou mesmo por meio de uma varredura linear (POLETTI; SARKAR, 1999) (com ou sem (WIMMER; FRANZ, 2010) desconstrução da representação SSA), para alocação de registradores. Atualmente, a seleção de instruções é feita de forma rudimentar (ou até mesmo inexistente). Cada quádrupla gerada define uma instrução e esta, por sua vez, é utilizada durante a geração de código para escolher um caminho no *switch* de instruções e produzir uma sequência de instruções de máquina pré-estabelecidas. Essa forma de “seleção” é bastante econômica em termos computacionais, mas não se preocupa com o custo combinado de instruções. A possibilidade de métodos mais sofisticados ainda é possível mas se tornou um ponto para um projeto futuro.

Finalmente temos a geração de código. O foco desse trabalho é a arquitetura IA-32, que possui uma ampla quantidade de instruções, extensões e diversas formas de endereçamento. Porém, muitos dos recursos existentes não têm sido aproveitados de forma a tornar factível a criação do gerador. Idéias e trechos de trabalhos anteriores, como Harpy (GRABMÜELLER; KLEEBLATT, 2007) ou o *Tiny Code Generator* (incluído nas versões mais recentes do QEMU (BELLARD, 2005)), podem ser reutilizadas aqui mas até o momento a implementação tem ocorrido seguindo manuais da Intel (INTEL, 2009a)(INTEL, 2009b). Ainda, de forma semelhante com a etapa anterior, a infraestrutura permitirá a implantação de geração de código para outras arquiteturas.

## 4 Desenvolvimento

A situação da implementação do compilador JIT até esse momento é descrita nas subseções seguintes. Esta seção inicia detalhando como nosso compilador foi introduzido na máquina virtual da linguagem Tcl e também como são determinados os procedimentos a serem compilados. Em seguida é descrito como pode ocorrer a execução do código de máquina representado como uma sequência de bytes. A representação intermediária e estruturas utilizadas são apresentadas na sequência e são feitas considerações a respeito do projeto inicial. Finalmente temos uma seção um pouco mais extensa que descreve a geração de código de máquina para a arquitetura IA-32 e uma breve consideração sobre portabilidade para outras arquiteturas.



## 4.1 Instalação e execução do compilador JIT

Para possibilitar a execução do compilador dinâmico em momentos específicos durante a execução da própria máquina virtual alvo, algumas modificações foram realizadas na implementação da Tcl. Essas modificações efetivamente “instalam” o compilador JIT no sistema original e serão descritas a seguir.

A linguagem Tcl invoca a função `TclCreateProc` toda vez que deseja associar a definição de um procedimento qualquer com uma estrutura interna `Proc`. Logo, a estrutura `Proc` parece ser um local ideal para ser aumentado pois todos procedimentos criados, que foram escritos em linguagem Tcl, conterão uma instância da mesma. Um campo com a estrutura de um `JIT_Proc` foi então inserido nessa outra estrutura.

```
struct JIT_Proc {
    int eligible;
    unsigned int callCount;
    unsigned char *ncode;
    int collectingTypes;
    struct JIT_BCType *bytecodeTypes;
};
```

Figura 1: Estrutura que aumenta a `Proc`

Durante a execução da função `TclCreateProc` a estrutura é apenas inicializada. A manutenção dos campos dessa estrutura `JIT_Proc` depende de, em grande parte, chamadas a outra função, `TclObjInterpProcCore`. Essa, por sua vez, é chamada por meio da `TclObjInterpProc` que é associada a um ponteiro para `Proc` por meio da função `Tcl_ProcObjCmd` que faz uso da função pública `Tcl_CreateObjCommand`. A escolha da `TclObjInterpProcCore` foi, portanto, devido ao modo com que os procedimentos escritos puramente em Tcl são criados e executados internamente. Portanto, a execução de um procedimento Tcl, criado da forma descrita anteriormente, necessariamente causa a execução da função `TclObjInterpProcCore`.

Voltamos a atenção para a estrutura `JIT_Proc` agora. O campo `collectingTypes`, inicializado em 0, é utilizado para detectar se já foi alocado memória para o campo `bytecodeTypes` ou não, sendo atualizado para 1 na primeira execução de uma função escrita puramente em Tcl. O campo `ncode` é inicializado em NULL e atualizado para um endereço quando for gerado código de máquina para o procedimento. O campo `callCount` controla se o procedimento deve ir para compilação dinâmica ou não, sendo decrementado a cada chamada e estabelecendo que o compilador JIT deve ser invocado ao atingir o valor 0. Atualmente esse campo é inicializado com o valor 1 (definido por `JIT_REQINVOKE`), indicando que o procedimento será interpretado uma vez antes de ser possivelmente compilado para có-

digo de máquina e instalado em seguida. O primeiro campo, mas o último a ser descrito, é utilizado para definir se o procedimento é elegível a compilação dinâmica ou não. A elegibilidade é definida da seguinte maneira: se alguma execução do procedimento pelo interpretador retornar um resultado que não seja `TCL_OK`, então o respectivo procedimento é marcado como não elegível. Isso é feito de modo a tentar não gerar código que quase certamente terá que tratar exceções.

Como foi dito, os campos da estrutura `JIT_Proc` requerem manutenção durante a execução da máquina virtual. Porém, o estado dessa máquina pode mudar durante execuções subsequentes de um mesmo procedimento. Para tratar o caso de mudanças, a `Tcl` sempre invoca a função `TclProcCompileProc` (a partir da `TclObjInterProc` rapidamente mencionada acima) antes de toda execução e verifica se o procedimento já foi compilado para *bytecode* e se houveram mudanças em relação ao espaço de nomes (*namespace*) relevante. Caso seja necessário, o procedimento é então recompilado, ou compilado pela primeira vez, para *bytecodes* e nesse ponto também são reinicializados os campos da estrutura `JIT_Proc` correspondente.

## 4.2 Execução do código de máquina

Uma parte da subseção anterior descreveu em que situação o código de máquina para um procedimento específico é gerado e instalado. Agora será apresentado como ocorre a execução do mesmo.

Tomando a estrutura `JIT_Proc` da figura 1 verifica-se a existência do campo `ncode`, que é definido como um ponteiro para `unsigned char`. A indicação de que um procedimento `Tcl` pode ter sua execução realizada por meio de código de máquina direto ao invés de interpretação é a não nulidade do `ncode`. Tendo estabelecido um endereço para esse campo deve ser possível requerer que tal endereço seja entendido como um endereço para uma função. Se temos um endereço para uma função, devemos conseguir invocar tal função passando os parâmetros esperados. A validade dessas duas últimas tarefas se deve ao fato de que uma função qualquer é simplesmente uma sequência de bytes que foi gerada por algum compilador para alguma arquitetura. Porém, realizar essas tarefas pode requerer uma certa flexibilidade da linguagem que se deseja utilizar. No caso da linguagem C, a escolhida para esse projeto, é permitido realizar um *cast* adequado que resolve esse problema. Especificamente, queremos tratar o endereço em `ncode` como um ponteiro para uma função que recebe dois parâmetros e que tem como resultado um valor inteiro; em seguida invocamos passando os dois parâmetros: `((int (*)(void *, void *))ncode)(param1, param2)`. A escolha dessa assina-

tura é devido àquela existente para a função `TclExecuteByteCode`. Essa última função mencionada é invocada por meio da `TclObjInterpProcCore` nos casos em que o compilador JIT não gerou código de máquina para um procedimento. Manter a compatibilidade entre essas duas funções, passando os mesmo parâmetros, proporciona ao código gerado pelo compilador JIT tratar objetos literais, parâmetros do procedimento `Tcl`, variáveis locais e outros detalhes de forma bastante similar ao da implementação da `TclExecuteByteCode`.

### 4.3 Representação Intermediária

A seguir é apresentado a evolução das escolhas feitas a respeito da representação intermediária para o compilador discutido e também o estado atual da mesma.

Inicialmente a proposta descrevia o uso de uma forma de representação intermediária em árvore. A intenção era, em uma etapa mais adiante, fazer uso de um algoritmo, entre os diversos existentes, para seleção de instruções que se baseiam em árvores. Porém, a partir da leitura de textos diversos essa decisão inicial foi repensada de forma a simplificar ainda mais o projeto. Sendo assim, a etapa de especificação do compilador JIT definiu o uso de uma representação intermediária linear inicial de nível médio na forma de quádruplas. Ainda estava previsto a transformação para a forma SSA que tem sido considerada por diversos compiladores, como LLVM (LATTNER; ADVE, 2004), GCC (Free Software Foundation, 2010) e Jalapeño (ou Jikes RVM) (ALPERN et al., 2000). Tal representação foi deixada para um projeto futuro, mas vale ressaltar que um dos principais motivos para uso da SSA, de acordo com Cytron et al. (1991), é a possibilidade de executar certas otimizações clássicas de maneira eficiente enquanto nessa IR, destacando eliminação de redundância parcial, propagação de constante e movimentação de código. A construção do grafo de fluxo de controle (CFG – *Control Flow Graph*) de um trecho de código específico faz parte dos requisitos para a transformação em SSA, porém ele também é atualmente utilizado diretamente na geração de código pelo compilador desse trabalho. Com isso chegamos a outra decisão: o uso de quádruplas para compor blocos básicos que representam os nós do CFG.

A representação em quádruplas é relativamente simples de se construir, além de apresentar uma característica relevante para a otimização que realiza movimentação de código: mover uma quádrupla tende a requerer menor esforço do que rearranjar uma representação em forma de árvore. Entretanto, conforme discutido em Muchnick (1997, p. 96), também é possível que a representação em árvore apresente vantagens em relação à utilizada, sendo a eliminação de registradores virtuais temporários e armazenamentos nos

mesmos uma delas.

Na versão atual do compilador a estrutura apresentada na figura 2 representa uma quádrupla.

```
struct Quadruple {
    Value *dest;
    unsigned char instruction;
    Value *src_a, *src_b;
    struct Quadruple *next;
};
```

Figura 2: Estrutura para uma quádrupla

O campo `instruction` tem tipo `unsigned char` pois atualmente representa um dos *bytecodes* da Tcl ou uma das instruções `JIT_INST_MOVE`, `JIT_INST_CALL`, `JIT_INST_GOTO`, `JIT_INST_JTRUE`, `JIT_INST_JFALSE`, `JIT_INST_ADD`, `JIT_INST_INCR`, que podem ser representadas com um byte – todas elas tem um número associado no intervalo `[0, 255]`. O campo `next` existe para lidar de forma eficiente com casos de otimização que requerem a movimentação de código, apesar de otimizações ainda não terem sido implementadas. Também temos os campos de tipo `Value` que, inicialmente, permitia assumir valores inteiros, ponteiros para `Tcl_Obj` ou uma forma de registrador. Na versão atual essa estrutura foi aumentada com os campos `flags` e `offset`. O primeiro desses é utilizado para indicar onde o valor deverá ser encontrado em tempo de execução. O outro descreve um deslocamento para o valor caso o mesmo se encontre em um *array*.

Para agrupar as quádruplas e formar os blocos básicos apresentamos a estrutura seguinte:

```
struct BasicBlock {
    int id;
    int exitcount;
    struct Quadruple *quads, *lastquad;
    int *exitblocks;
};
```

Figura 3: Estrutura para um bloco básico

Como não há um campo “next” nessa abstração, guardamos o número de arcos, em `exitcount`, que saem de um bloco de modo a permitir o controle de sua travessia por meio do campo `exitblocks`. O ponteiro `lastquad` é utilizado na construção do CFG, eliminando a necessidade de travessia das quádruplas presentes em um bloco para identificar se a última instrução é de desvio ou não. O campo `id` serve, até o momento, somente para *debugging*. A identificação dos blocos básicos e construção do CFG não difere da-

quela apresentada em Muchnick (1997, p. 173-175), porém não é feito, até o momento, o uso de blocos básicos estendidos. A visualização dos blocos básicos ainda não ocorre de forma didática, sendo possível apenas uma exibição em modo texto bastante simples; com algum esforço é possível transformar essa saída em uma entrada para algum programa que trata do desenho de grafos.

Para exemplificar um CFG construído, consideremos o procedimento descrito na figura 4. Feita uma pequena modificação na implementação é possível definir JIT\_REQINVOKE

```
proc grayb {n} {  
  for {set i 0} {$i < 2 ** $n} {incr i} {  
    puts [expr {$i ^ ($i >> 1)}]  
  }  
}
```

Figura 4: Procedimento que exhibe código Gray de números com até n bits

em 0 e, antes da primeira execução interpretada do código, conseguimos exibir o CFG. Ao executar “grayb 2” teremos que a função JIT Compile (nome segue o padrão de nomenclatura do código fonte da Tcl para funções públicas) será chamada pela função TclObjInterpProcCore, essa última foi modificada conforme descrito na subseção 4.1. Após a execução da JIT Compile temos como um dos resultados o grafo de fluxo de controle, que para o código acima será aquele exibido na figura 5.

Para se chegar nessa representação foi feita uma espécie de conversão de máquina virtual baseada em pilha para algo se assemelha com uma máquina de infinitos registradores. Uma pilha temporária é utilizada para simplificar essa transição, sendo acessada e atualizada durante a construção de diversas instruções. Também são pré-alocados registradores virtuais para as variáveis locais. A implementação da Tcl disponibiliza uma lista dinâmica com todas essas variáveis locais, incluindo também os parâmetros formais da função, sendo necessário apenas atribuir índices a elas. O registrador R1 está associado ao parâmetro n, mas nunca é acessado diretamente porque o programa exemplo não altera seu valor. Por outro lado, o R2 que associa-se a variável local i é utilizado mas foi renomeado (de R2 para i) na figura 5 para deixar mais claro seu uso.

Verifica-se que há diversas instruções de atribuição que recebem um valor que se parecem com números, como '0' ou '1', mas que estão sendo representados como *strings*. Na realidade esses valores são todos ponteiros para uma estrutura Tcl\_Obj, podendo assumir qualquer tipo interno presente na linguagem. Nesse exemplo podemos assumir, e de fato assim ocorrerá, que todos são inteiros. No caso da *string* 'puts' armazenada no registrador 4 tem-se que ela servirá como chave em uma tabela *hash* que possui como valor a respectiva função (ou não, gerando um erro). Todos esses ponteiros estarão armazenados

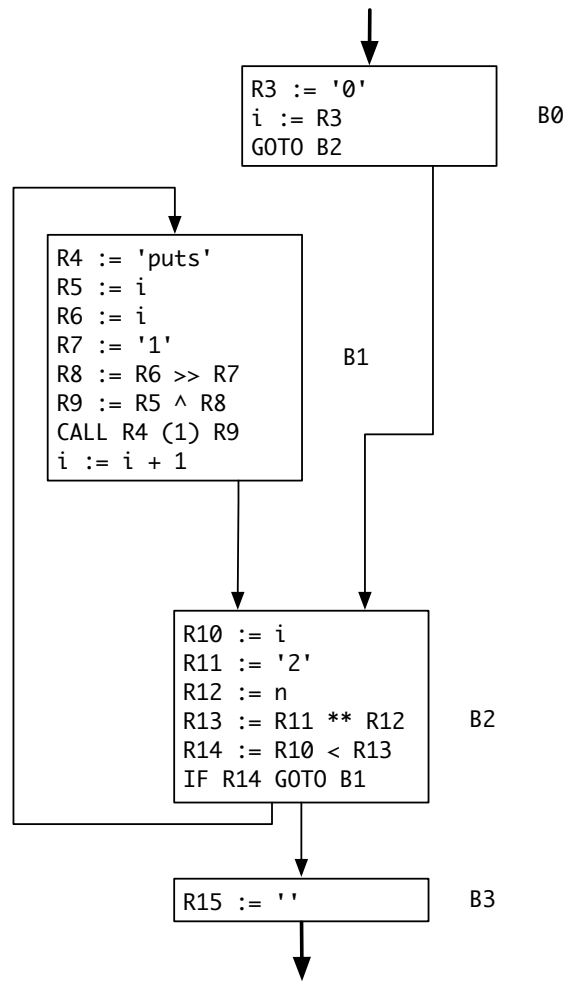


Figura 5: Blocos básicos e grafo de fluxo de controle construídos

num *array* quando a função for executada, sendo necessário definir os campos *flags* e *offset* da estrutura *Value* correspondente de acordo. O número entre parênteses na instrução *CALL* indica que haverá 1 parâmetro na chamada e, no caso, este será o conteúdo de *R9*. A única instrução no bloco de saída *B3* indica o valor de retorno de função – uma *string* vazia.

Haviam 55 *bytecodes* (não exibidos aqui) sendo utilizados para representar o código da figura 4, e agora 18 quádruplas são empregadas com o mesmo resultado. Nessa quantidade numérica superior destaca-se o uso de 9 bytes para representar a instrução *INST\_START\_CMD* da *Tcl*, destinando 1 byte para o código da instrução em si, 4 bytes para indicar a posição relativa do início do próximo comando e 4 bytes para contar a quantidade de comandos que fazem parte desse que está iniciando de modo a possibilitar ao interpretador respeitar limites impostos para certos recursos por meio de APIs específicas. Porém, apesar das quádruplas estarem em número inferior, levando em conta o total

de bytes contidos em cada quádrupla (de acordo com as estruturas acima) tem-se que o consumo de memória é bastante superior mas temporário – após a geração de código as quádruplas não precisam mais estar em memória. Ao mesmo tempo é possível observar que muitas delas são passíveis a eliminação, ficando a cargo de otimizações em etapas futuras.

Um último esclarecimento a respeito da figura 5 precisa ser feito. Os *bytecodes* de desvio emitidos pela Tc1 utilizam operandos que descrevem posições relativas (negativas ou positivas) à posição atual mas pode-se notar que na representação utilizada há somente desvios absolutos para blocos básicos. Para essa tarefa foi feito um mapeamento de cada *bytecode* para cada bloco básico antes de construir o conteúdo dos blocos assumindo que não haveriam mais quádruplas do que *bytecodes*.

#### 4.3.1 Mapeamento de alguns *bytecodes* para quádruplas

A seguir é realizada uma breve análise de como alguns *bytecodes* são convertidos para quádruplas e, em um caso específico, verifica-se um indício de possível erro durante execução de código que poderia ter sido gerado pelo compilador JIT.

Na figura 4 não foi feito uso de variáveis globais, então começaremos analisando a saída gerada para um trecho que faz uso de tal recurso. O exemplo da figura 6 é bastante simples, porém incorreto na linguagem Tc1. É necessário preceder explicitamente a variável de seu escopo, no caso o escopo global é simbolizado por “:.”. Também é possível utilizar o comando `global` para indicar uma lista de variáveis como globais.

```
set x 4
proc y {} { puts $x }
y
```

Figura 6: Uso incorreto de variável global em Tc1

Ao executar tal código o interpretador gera uma exceção, mas, antes de exibir a descrição do problema, a função `JIT Compile` é chamada (assumindo que `JIT_REQINVOKE` ainda está definida em 0). O resultado, ajustado para melhor visualização, é exibido na tabela 1.

Os registradores 2 e 3 estão sendo atribuídos a endereços de memória estruturados como `Tc1_Obj`. Por esse motivo, fica claro que não há um endereço previsto para a variável `x` e, portanto, esse código certamente geraria um erro (assim como o interpretador gera em seguida) se fosse compilado para código de máquina.

Continuando ainda no exemplo da figura 6, detalhamos como o mapeamento de uma co-



Tabela 1: Saída produzida para procedimento da figura 6

Bytecode	Registradores
PUSH 'puts'	R2 := 'puts'
LOAD_SCALAR x	R3 := 0x0
INVOKESTK 2	CALL R2 (1) R3
DONE	

luna para outra foi realizado no restante dessa seção. Começando pela instrução DONE vemos que nada equivalente aparece na coluna a direita. Isso é resultado da atual simplificação feita na outra representação, que, diferentemente da máquina virtual em execução, não verifica por exceções e tão pouco por código de retorno anormal – tais tarefas são realizadas em diversos trechos da função `TclExecuteByteCode` mas também são especificamente feitas na execução da instrução DONE.

A instrução PUSH é mapeada fazendo uso de uma pilha temporária e também de um *array* de objetos literais. Um operando que segue a instrução PUSH é tomado como o índice nesse *array*, sendo possível obter o objeto esperado. O registrador criado nesse momento, R2 no exemplo, é inserido no topo da pilha temporária. A instrução LOAD\_SCALAR é mapeada de forma similar, mas ela se baseia em obter o endereço da variável escalar de uma lista de variáveis locais criada pelo compilador da Tcl para o procedimento corrente. Nesse momento temos os registradores 2 e 3 nessa pilha e então a instrução INVOKESTK deve ser convertida. Seguida de um operando, chamado de *objc* aqui, indicando a quantidade total de argumentos – incluindo o nome da função – temos que os elementos  $0 \dots objc - 2$  da pilha a partir do topo são os parâmetros para a função na posição  $objc - 1$  a partir do topo. Na representação utilizada não é contado o nome da função como um parâmetro, por isso entre parênteses vê-se o número 1 ao invés do 2.

#### 4.4 Geração de código de máquina

Sabendo como a representação intermediária é formada e como o sistema trabalha para executar o código gerado, falta ainda descrever como tal código de máquina é gerado.

Logo após a criação do CFG, a função `JIT_CodeGen` é invocada e o seu resultado é um ponteiro para `unsigned char` que em seguida é passado para um campo `ncode` de um procedimento específico. A função `JIT_CodeGen` faz todo o trabalho que cabe a esta seção.

#### 4.4.1 Reservando e controlando espaço para os bytes

A primeira questão a ser tratada é onde colocar os bytes que serão gerados. De acordo com a seção 4.2, uma função é apenas uma sequência de bytes que pode ser executada. De forma direta poderíamos pensar em deixar os bytes em um região de memória alocada por uma função como a `malloc`. Simplesmente fazer isso não garante que o sistema permitirá a execução dessa sequência de bytes.

Com a introdução do bit NX (*No-eXecute*) pela AMD e depois pela Intel (que renomeou para *eXecute-Disable*), o hardware passou a poder prevenir a execução de código em páginas destinadas a dados (INTEL, 2009c, seção 5.13) e, dessa forma, elimina parcialmente ataques relacionados a *buffer overflow*<sup>1</sup>. Por essa razão uma região de memória alocada por meio do `malloc` não poderá ter seu conteúdo executado em sistemas que fazem uso desse recurso. Uma forma de corrigir esse problema é fazer uso da função `mprotect`, definindo a região com proteção de leitura e execução após escrever os dados desejados. Entretanto, essa função requer que o tamanho da região alocada seja um múltiplo do tamanho de página – denominado de *page-aligned*. Para resolver este outro problema faz-se uso da função `memalign` ou `valloc` de acordo com a disponibilidade. Porém, nota-se que o mais adequado é definir o tamanho da região como um múltiplo do tamanho de página, eliminando a necessidade de alinhamento e reduzindo questões de portabilidade. A quantidade de bytes que define o tamanho de uma página pode ser obtido com a função `getpagesize`. A estrutura exibida na figura 7 juntamente com as funções `pagesize`, `newpage` e `pagenowrite` exibidas no apêndice A tratam dos problemas mencionados de forma similar a descrita e também de questões de portabilidade entre Windows e UNIX.

```
struct MCode {
    unsigned char *mcode, *codeEnd;
    int limit, used;
};
```

Figura 7: Estrutura para controlar uso de memória do código sendo gerado

Os campos `limit` e `used` determinam o tamanho total alocado e o espaço usado até o momento, respectivamente. Atingindo o valor limite, uma nova página precisa ser alocada e o campo `limit` tem seu valor dobrado. Os campos `mcode` e `codeEnd` apontam para o início do código de máquina e o ponto atual na região de memória, respectivamente. O endereço contido em `mcode` é aquele que será instalado no campo `ncode` da estrutura

---

<sup>1</sup>O artigo “Code Injection Attacks on Harvard-Architecture Devices” de Aurélien Francillon e Claude Castelluccia publicado na ACM CCS 2008 menciona trabalhos que contornam a proteção por bit NX além de outras proteções que tem sido desenvolvidas.

JIT\_Proc de um procedimento específico caso a geração de código tenha sucesso.

#### 4.4.2 Código de máquina IA-32

A arquitetura IA-32 tem sido amplamente utilizada nos computadores de uso pessoal, mantendo portabilidade a nível de código objeto desde o processador 8086 e fazendo uso de um conjunto de instruções complexo (CISC). Essa última característica reflete a grande quantidade de instruções existentes nessa arquitetura (e que tem aumentando) e também a variedade de combinações permitidas. Convenções a cerca de chamadas de funções também tem sido estabelecidas, formando parte de uma interface binária de aplicação (ABI). Nesse trabalho seguiu-se a ABI para chamada de funções descrita em Santa Cruz Operation (1997), que é a mesma seguida pelo Linux e quase a mesma pelo Mac OS X (ver Apple (2009)).

##### 4.4.2.1 Início e término da geração

Antes de gerar código específico para um CFG, a função JIT\_CodeGen gera um prólogo genérico que pode ser visto na figura 8. Após toda a geração do código novamente temos um código genérico, agora chamado de epílogo e que também é apresentado na figura 8. A divisão da pilha em partes (*frames*) origina o conceito de *stack frame* que é manuseado pelo código do prólogo. Cada *stack frame* pode variar de tamanho, e por isso definimos um ponto base para acessar parâmetros ou variáveis locais de forma que seja respeitada as condições da ABI. Essa base, ou ponto de referência, fica definida como o endereço contido no registrador *ebp* após a execução do prólogo. É possível encontrar definições de prólogo que incluam código para salvar os registradores *ebx*, *edi*, *esi* e *esp* uma vez que, de acordo com a ABI seguida, esses registradores (além do *ebp* que já é salvo) precisam ser preservados entre chamadas. Na implementação atual, código para salvar qualquer um desses registradores precisa ser gerado conforme necessário. O epílogo possui código antônimo daquele contido no prólogo, efetivamente desfazendo o *stack frame* construído e retornando para o endereço contido na topo da pilha corrente.

Para os códigos exibidos adiante assume-se que `code` seja um ponteiro da forma do `codeEnd` da estrutura `MCode` (figura 7) e disponha de uma região de memória suficiente para a execução correta dessas macros.

Na figura 8, entre as linhas 1 a 4, têm-se algo semelhante com código em *Assembly* de sintaxe AT&T. A partir da linha 6 observa-se um trabalho semelhante, porém simplificado, de um montador para x86. Para entender o significado das linhas 6, 8, 9 e 13 apresenta-se a tabela 2 com formato similar àquelas encontradas nos manuais da In-

```

1 #define PROLOGUE(code) \
2     PUSH_REG(code, EBP); \
3     MOV_REG_REG(code, ESP, EBP)
4 #define EPILOGUE(code) LEAVE(code); RETN(code)
5
6 #define PUSH_REG(code, reg) *code++ = 0x50 + reg
7 #define MOV_REG_REG(code, src, dest) \
8     *code++ = 0x89; \
9     *code++ = MODRM(0x3, src, dest)
10 #define LEAVE(code) *code++ = 0xC9
11 #define RETN(code) *code++ = 0xC3
12
13 #define MODRM(mod, reg, rm) (mod << 6) + (reg << 3) + rm

```

Figura 8: Código para epílogo e prólogo breve em x86

Tabela 2: Uma variação das instruções MOV e PUSH

Opcode	Instrução	Operando 1	Operando 2	Modo 64-Bits
0x89 /r	MOV r32, r/m32	ModRM:reg (r)	ModRM:r/m (w)	Válido
0x50+rd	PUSH r32	reg (r)		N.C.

tel (INTEL, 2009a)(INTEL, 2009b) mas adaptada para sintaxe AT&T e reduzida para as necessidades da situação.

Na coluna “*Opcode*” da tabela 2 encontram-se os códigos hexadecimais das variações de MOV e PUSH utilizadas e também as informações “/r” e “+rd”. A primeira dessas indica que a instrução faz uso de um byte chamado de ModR/M que segue o valor hexadecimal. Esse byte ModR/M é dividido em três partes: mod (2 bits), reg/opcode (3 bits) e r/m (3 bits), da direita para esquerda seguindo a ordem *little-endian*. O formato final do byte é formado conforme a linha 13 da figura 8. A parte “reg/opcode” determina ou um número de registrador ou mais três bits de informação de acordo com a especificação do *opcode* (que não é utilizado aqui). O campo “r/m” ou especifica um registrador como um operando ou pode ser combinado com o “mod” para codificar um modo de endereçamento. Para mais detalhes sobre o byte ModR/M recomenda-se a consulta ao manual da Intel (2009a, capítulo 2). Retomando à coluna “*Opcode*”, a informação “+rd” indica que um código entre 0 e 7, simbolizando um registrador de 32 bits, deve ser somado ao valor em hexadecimal. A segunda coluna da mesma tabela indica que os operandos são registradores de 32 bits (r32) ou que pode-se buscar algum conteúdo no endereço de memória calculado (r/m32). No caso dessa variação do MOV queremos mover dados de um registrador para outro. A última coluna da tabela indica se o *opcode* apresentado pode ser utilizado no modo 64-bits ou não; no caso desse PUSH está sendo indicado que a sintaxe da instrução não é codificável no modo 64-bits. Ou seja, essa última coluna consegue indicar

quais das instruções atualmente codificadas pelo compilador teriam que ser no mínimo ajustadas para que pudéssemos trabalhar com a arquitetura x64.

As colunas da tabela 2 relacionadas aos operandos são discutidas agora. Encontra-se entre parênteses “r” ou “w”, significando que o conteúdo do operando será ou lido (*read*) ou atualizado (*written*) pelo processador. O único operando dessa instrução PUSH é um registrador, indicado por “reg”. Para a instrução MOV utilizada, dispomos de 32 combinações de endereçamento devido ao uso do byte ModR/M. Entretanto, estamos interessados apenas na especificação de registradores. De acordo com a tabela 2.2 do manual em Intel (2009a, seção 2.1.5) verifica-se que é necessário estabelecer o campo “mod” do byte ModR/M em 3 para essa situação e, assim, juntamente com os números dos registradores fonte e destino conseguimos completar esse byte adicional. Dessa forma, a linha 9 do código da figura 8 está resolvida.

#### 4.4.2.2 Percorrendo blocos e gerando código

Uma busca em profundidade é disparada partindo do nó (bloco básico) inicial do CFG e a cada bloco visitado ocorre geração de código para aquele bloco. Uma quádrupla por vez do bloco básico corrente é acessada e um *switch* de instruções define qual cláusula corresponde a instrução contida na quádrupla. Determinada a instrução que deverá ter código gerado, chegamos ao assunto principal dessa subseção.

Devido a granularidade alta, imposta pela representação intermediária atual, mesmo uma instrução simples como a JIT\_INST\_INCR requer uma quantidade relativamente alta de bytes para codificá-la e, portanto, podemos aproveitá-la para uma discussão detalhada.

```
proc myinc {x} {  
    return [incr x]  
}
```

Figura 9: Código exemplo para análise da geração de código

O exemplo da figura 9 gera apenas um bloco básico com apenas uma quádrupla. O comando *incr* da Tcl permite que uma variável, que pode ter seu valor representado como um inteiro, seja incrementada ou decrementada em qualquer quantidade inteira. Porém, o compilador JIT, ao detectar o *bytecode* INST\_INCR\_SCALAR1\_IMM (gerado pela Tcl para o comando *incr*), codifica-o como JIT\_INST\_INCR somente se o valor absoluto do incremento for 1. Para os demais casos uma instrução JIT\_INST\_ADD é estabelecida. Nesse exemplo temos o comportamento padrão do comando *incr*, que incrementa em uma unidade a variável indicada. Feitas essas considerações partimos efetivamente para

o código de máquina, um pouco simplificado, desse trecho.

Assumindo que a instrução `JIT_INST_INCR` tenha sido corretamente codificada, o valor do operando A (campo `src_a` da estrutura `Quadruple` – figura 2) necessariamente contém uma indicação de que o operando é uma variável local. Sendo assim, precisamos chegar a essa variável local. Na seção 4.2 foi descrito a assinatura da função criada pelo compilador JIT mas ainda não foi dito quais os tipos dos parâmetros que seriam passados. Seguindo a compatibilidade com a função `TclExecuteByteCode`, o primeiro parâmetro é uma estrutura interna denominada `Interp` que será utilizada para chegar a variável local. Tendo essa informação, os primeiros bytes a serem gerados aqui dizem respeito a movimentação do primeiro parâmetro para um registrador. O código na figura

```
#define COPY_PARAM_REG(code, paramn, reg) \
    MOV_DISP8DREG_REG(code, 8 + 4 * paramn, EBP, reg)

#define MOV_DISP8DREG_REG(code, disp, src, dest) \
    *code++ = 0x8B; \
    *code++ = MODRM(0x1, dest, src); \
    *code++ = disp
```

Figura 10: Cópia de parâmetro para registrador seguindo ABI escolhida

10 realiza essa função de acordo com a ABI escolhida. Assumindo um uso da forma: `COPY_PARAM_REG(code, 0, EAX)`, teremos em tempo de execução o endereço de uma estrutura `Interp` no registrador `eax`. Note que aqui temos outra variação da instrução `MOV`, que pode ser traduzida para Assembly como: `movl 8(%ebp), %eax`. Nesse ponto podemos atravessar a estrutura até chegarmos ao *array* que contém todas as variáveis locais – trecho de código na figura 11.

```
long int offset;
offset = offsetof(Interp, varFramePtr);
MOV_DISP8DREG_REG(code, offset, EAX, EAX);
offset = offsetof(CallFrame, compiledLocals);
MOV_DISP8DREG_REG(code, offset, EAX, EAX);
```

Figura 11: Percorrendo `Interp` até variáveis locais

Na estrutura `Interp` tem-se que o campo `varFramePtr` aponta para um `CallFrame` que possui acesso as variáveis atualmente em uso. A estrutura `CallFrame`, por sua vez, tem um *array* de tipo `Var`, chamado de `compiledLocals` e que guarda as variáveis locais. Portanto, a figura 11 gera código equivalente a: `interp->varFramePtr->compiledLocals`, assumindo que `interp` aponte para o parâmetro de tipo `Interp`. Prosseguindo, faz-se uso do campo `offset` da estrutura `Value` de `src_a`, deslocando em `compiledLocals` até o

ponto desejado e tornando possível acessar o `Tcl_Obj` que representa a variável local procurada – ver figura 12, continuação da figura 11. Note que a variável que queremos acessar aqui é um parâmetro para a função escrita em Tcl e, além disso, é o primeiro parâmetro e, por essa razão, o deslocamento será 0 no array `compiledLocals`.

```
#define ADD_IMM8_REG(code, imm, reg) \
    *code++ = 0x83; \
    *code++ = MODRM(0x3, 0, reg); \
    *code++ = imm

if (src_a->offset) {
    ADD_IMM8_REG(code, sizeof(Var) * src_a->offset, EAX);
}
offset = offsetof(Var, value.objPtr);
MOV_DISP8DREG_REG(code, offset, EAX, EAX);
```

Figura 12: Acessando variável local

Estando sobre o objeto desejado, é possível obter o valor inteiro contido no mesmo (se houver). Entretanto, o endereço desse objeto será reutilizado antes do código de máquina terminar e, portanto, salva-se em outro registrador (se possível). O código na figura 13 avança até o ponto em que o valor contido no objeto é incrementado, simplificações são feitas de modo que é assumido que o objeto já construiu uma representação de tipo inteiro.

```
#define INC_DREG(code, reg) \
    *code++ = 0xFF; \
    *code++ = MODRM(0x0, 0, reg)

MOV_REG_REG(code, EAX, EDX);

offset = offsetof(Tcl_Obj, internalRep.longValue);
ADD_IMM8_REG(code, offset, EAX);
INC_DREG(code, EAX);
```

Figura 13: Salvando endereço e incrementando em uma unidade uma variável local

Nesse momento a variável local já foi incrementada mas ainda precisamos realizar algumas tarefas antes de retornar. De acordo com o funcionamento da Tcl, é necessário definir o objeto resultado da função `myinc` para o interpretador em que a função executa. Note que efetivamente não é feito uso de interpretador aqui, entretanto é necessário guardar uma cópia desse `Tcl_Obj` em `interp->objResultPtr` pois possivelmente será acessado por outros comandos Tcl por meio da função `Tcl_GetObjResult`. Para preencher esse requerimento é feito uso da função `Tcl_SetObjResult`. Também é necessário



atualizar a representação em `string` do objeto incrementado, caso contrário um comando `print` exibiria o equivalente ao conteúdo existente antes do incremento. Depois dessas tarefas podemos retornar o código `TCL_OK (0)` para indicar sucesso. O código contido nas figuras 14 e 15 realiza essas tarefas finais.

```
#define PUSH_DISP8REG(code, disp, reg) \
    *code++ = 0xFF; \
    *code++ = MODRM(0x1, 6, reg); \
    *code++ = disp
#define MOV_IMM32_REG(code, imm32, reg) \
    *code++ = 0xB8 + dest; \
    IMM32(code, imm32)
#define CALL_ABSOLUTE_REG(code, reg) \
    *code++ = 0xFF; \
    *code++ = MODRM(0x3, 2, reg)
#define POP_REG(code, reg) *code++ = 0x58 + reg
#define XOR_REG_REG(code, src, dest) \
    *code++ = 0x33; \
    *code++ = MODRM(0x3, src, dest)

#define IMM32(code, v) \
    *code++ = v; *code++ = v >> 8; \
    *code++ = v >> 16; *code++ = v >> 24
```

Figura 14: Macros adicionais requeridos pela figura 15

Após concluir a geração de código para a quádrupla atual, verifica-se que não há mais quádruplas ou mesmo outros blocos a serem visitados. A função `JIT_CodeGen` está pronta para encerrar; ajustando a permissão das páginas utilizadas e retornando o endereço inicial para essa sequência de bytes que pode ser executada como uma função. Para a figura 9 foram utilizados 51 bytes, o código de máquina para esse trecho é dado por:

```
0x8B 0x45 0x08 0x8B 0x40 0x64 0x8B 0x40 0x28 0x8B 0x40 0x04 0x89
0xC2 0x83 0xC0 0x10 0xFF 0x00 0x52 0xFF 0x75 0x08 0xB9 0x66 0x02
0x09 0x0A 0xFF 0xD1 0x83 0xC4 0x04 0x5A 0x89 0xD1 0x8B 0x49 0x0C
0x8B 0x49 0x0C 0x52 0xFF 0xD1 0x83 0xC4 0x04 0x33 0xC0 0xC3
```

Apesar do *bytecode* codificado acima ser um dos mais simples, é possível reutilizar boa parte desse código para alguns outros. Uma instrução de adição ou subtração entre uma variável e uma constante qualquer requer somente a troca da `INC_DREG` por uma outra similar a já exibida `ADD_IMM8_REG`. A parte do código que acessa variáveis locais também pode ser reaproveitada por grande parte das demais instruções `Tcl`. Além disso, serve de base para remoção de pelo menos uma simplificação: a falta de verificação por *overflow*. Após incrementar a variável, poderíamos fazer uso de um desvio condicional baseado na *flag* `OF`, do registrador `EFLAGS` (ver Intel (2009d, seção 3.4.3)), para um ponto de retorno

```

/* Chamar Tcl_SetObjResult. */
PUSH_REG(code, EDX);
PUSH_DISP8REG(code, 8, EBP);
MOV_IMM32_REG(code, (ptrdiff_T)Tcl_SetObjResult, ECX);
CALL_ABSOLUTE_REG(code, ECX);

/* ‘Remove’ 8(%ebp) da pilha. */
ADD_IMM8_REG(code, 4, ESP);

/* Atualizar representacao string por meio da
 * funcao updateStringProc do tipo do objeto. */
POP_REG(code, EDX);
MOV_REG_REG(code, EDX, ECX);
offset = offsetof(Tcl_Obj, typePtr);
MOV_DISP8DREG_REG(code, offset, ECX, ECX);
offset = offsetof(Tcl_ObjType, updateStringProc);
MOV_DISP8DREG_REG(code, offset, ECX, ECX);
PUSH_REG(code, EDX);
CALL_ABSOLUTE_REG(code, ECX);

ADD_IMM8_REG(code, 4, ESP);

/* Retornar TCL_OK (ver ABI). */
XOR_REG_REG(code, EAX, EAX);

```

Figura 15: Tarefas finais para o código da figura 9

que indica que houve *overflow*. O compilador JIT, quando completo, precisa no mínimo fazer esse tratamento e reiniciar a execução do procedimento por meio de interpretação em vista que a linguagem Tcl trabalha com números inteiros de tamanho arbitrário de forma transparente.

Nesta seção foi considerado que detalhar todos os formatos das instruções aqui codificadas seria uma distração. O leitor é convidado a visitar as tabelas 3 e 4 no apêndice A que descreve todas as instruções codificadas nesse documento juntamente com os nomes das macros definidas.

#### 4.4.3 Infraestrutura

Até o momento já foram apresentadas diversas macros que efetivamente geram código de máquina para a arquitetura IA-32. Agora é rapidamente discutido como o gerador de código encontra estas definições.

O gerador de código encontra as definições adequadas a serem utilizadas a partir de um arquivo de cabeçalho (`generic/jit/arch/arch.h` no código fonte) que faz a seleção baseado em definições do compilador utilizado. No caso desse trabalho, a linguagem Tcl

tem sido compilada exclusivamente com o gcc e a existência da definição `__i386__` foi suficiente para inclusão das macros esperadas. Portar o gerador para outra arquitetura implica em: ajuste desse arquivo que faz a seleção do que incluir e, também, a adaptação das macros existentes para esse outro conjunto de instruções.

## 5 Dificuldades Encontradas

A primeira dificuldade encontrada foi em relação a aprendizagem (parcial) do funcionamento da linguagem de programação Tcl – especificamente a versão 8.5.8 – que contém mais de 200 mil linhas de código C. Boa parte desse número de linhas não afeta diretamente a construção desse compilador, porém uma grande quantidade será ativada ao longo da execução do código gerado pelo compilador.

A linguagem faz uso de contagem de referências para realizar coleta de lixo e também compartilha muitos dos valores utilizados. Com isso, reutilizar objetos `Tcl_Obj` (atualmente no caso da função `JIT Compile`) que foram construídos em partes distintas não é tão simples pois é necessário se ter certeza de que o objeto não será desalocado enquanto se está trabalhando com ele e, ao mesmo tempo, não se quer deixar objetos com contagem de referência superior a necessária. Compartilhar objetos economiza memória mas não simplifica o uso de objetos alheios, sendo necessário verificar se um objeto específico é compartilhado ou não antes de, dependendo do uso, duplicar o mesmo. Não são tarefas tão complexas mas tendem a ser pontos de erros obscuros em programas não tão curtos e não tão simples.

Com o avanço da implementação, descrita nesse relatório, a geração de código nativo realizada de forma manual demonstrou-se bastante propensa a erros. Detalhes na geração do byte `ModR/M` causaram muitas falhas de segmentação até chegar ao código final correto; saídas produzidas pelo compilador gcc, analisada pelas ferramentas `otool` ou `objdump`, ajudaram na correção ao longo do processo.

## 6 Próximos Passos

Devido ao tempo restante espera-se que somente duas atividades continuem sendo desenvolvidas:

1. Geração de código para uma maior quantidade de *bytecodes* Tcl de modo a possibilitar análise coerente de resultados;

2. Escrita do texto final.

## 7 Conclusões

Compiladores JIT tem sido implementados em máquinas virtuais que demandam alta performance. Entre as linguagens de programação, Java se destaca ao ter recebido suficiente atenção ao ponto de empresas e pesquisadores desenvolverem diversas JVMs com compiladores dinâmicos que fazem uso de uma variedade de técnicas.

Escolhas adequadas para todas as partes de um compilador JIT tornam possível o uso de um compilador otimizador em tempo de execução. Esse texto teve maior foco nas representações intermediárias utilizadas, ou que se pretende utilizar, nesse projeto. Quádruplas para formar blocos básicos e permitir a construção do grafo de fluxo de controle (CFG) foi mais discutida aqui, mas também foi mencionado a representação SSA que inicia-se com a entrada de um CFG. A SSA tem sido aplicada em diversos compiladores otimizadores, pois permite aplicar, ao menos, as otimizações de movimentação de código, propagação de constante e eliminação de redundância parcial de forma eficiente.

A conversão de *bytecodes* de uma máquina de pilha para uma representação na forma de máquina de registradores exige atenção aos detalhes da semântica implementada na máquina virtual atual da linguagem. Uma vantagem visível é a capacidade de sintetização que uma representação baseada em registradores tem sobre uma que faz uso de pilha. Entretanto, um número reduzido de quádruplas não indica necessariamente menor consumo de memória do que uma quantidade superior de *bytecodes*.

Detalhes relacionados a definição de onde instalar o compilador JIT na linguagem alvo e de quando executar a compilação JIT envolvem pelo menos um entendimento simplificado do funcionamento da máquina virtual. Com a experiência adquirida até o momento, essa etapa aparenta ser a mais simples de ser feita.

A geração de código de máquina, em especial para uma arquitetura CISC, de forma manual é dispendiosa e propensa a erros. Apesar da alta granularidade imposta pela representação intermediária atual, mostrou-se necessidade de 51 bytes para a codificação simplificada de um procedimento em Tc1 com um único comando *incr*. Entretanto, discute-se que, entre essa quantidade total, um número significativo de bytes pode ser reaproveitado por muitas das outras instruções para acesso a variáveis locais. Além disso, com pequenas alterações é possível codificar outras instruções simples, ou variações do *incr* que não façam uso de incremento de valor absoluto 1, da linguagem Tc1.

## Referências

ALPERN, B. et al. The jalapeño virtual machine. *IBM Syst. J.*, IBM Corp., Riverton, NJ, USA, v. 39, n. 1, p. 211–238, 2000. ISSN 0018-8670.

APPLE. *Mac OS X ABI Function Call Guide*. 2009. [http://developer.apple.com/mac/library/documentation/DeveloperTools/Conceptual/LowLevelABI/Mac\\_OS\\_X\\_ABI\\_Function\\_Calls.pdf](http://developer.apple.com/mac/library/documentation/DeveloperTools/Conceptual/LowLevelABI/Mac_OS_X_ABI_Function_Calls.pdf). Acessado em 24 de setembro de 2010.

BELLARD, F. Qemu, a fast and portable dynamic translator. In: *ATEC '05: Proceedings of the annual conference on USENIX Annual Technical Conference*. Berkeley, CA, USA: USENIX Association, 2005.

CIERNIAK, M.; LUEH, G.-Y.; STICHNOTH, J. M. Practicing judo: Java under dynamic optimizations. *SIGPLAN Not.*, ACM, New York, NY, USA, v. 35, n. 5, p. 13–26, 2000. ISSN 0362-1340.

CYTRON, R. et al. Efficiently computing static single assignment form and the control dependence graph. *ACM Transactions on Programming Languages and Systems*, v. 13, n. 4, p. 451 – 490, 1991.

DEUTSCH, L. P.; SCHIFFMAN, A. M. Efficient implementation of the Smalltalk-80 system. In: *Conference Record of the Eleventh Annual ACM Symposium on Principles of Programming Languages*. Salt Lake City, Utah: [s.n.], 1984. p. 297–302.

ERTL, M. A.; CASEY, K.; GREGG, D. Fast and flexible instruction selection with on-demand tree-parsing automata. In: *PLDI '06: Proceedings of the 2006 ACM SIGPLAN conference on Programming language design and implementation*. New York, NY, USA: ACM, 2006. p. 52–60. ISBN 1-59593-320-4.

FREE SOFTWARE FOUNDATION. *Using and porting GNU lightning*. 2007. <http://www.gnu.org/software/lightning/manual/lightning.html>. Acessado em 9 de maio de 2010.

Free Software Foundation. *GNU Compiler Collection Internals – SSA*. 2010. <http://gcc.gnu.org/onlinedocs/gccint/SSA.html>. Acessado em 23 de setembro de 2010.

GILMORE, J.; SHEBS, S. *Testsuite – GDB Internals*. 2010. <http://sourceware.org/gdb/current/onlinedocs/gdbint/Testsuite.html>. Acessado em 8 de maio de 2010.

GRABMÜELLER, M.; KLEEBLATT, D. Harpy: run-time code generation in haskell. In: *Haskell '07: Proceedings of the ACM SIGPLAN workshop on Haskell workshop*.

New York, NY, USA: ACM, 2007. ISBN 978-1-59593-674-5.

HERNÁNDEZ, R. Openacs: robust web development framework. In: *12th Annual Tcl/Tk Conference*. Portland, Oregon, USA: [s.n.], 2005.

HÖLZLE, U. *Adaptive Optimization for SELF: Reconciling High Performance with Exploratory Programming*. Tese (Doutorado), Stanford, CA, USA, 1994.

INTEL. *Intel® 64 and IA-32 Architectures Software Developer's Manual – Volume 2A: Instruction Set Reference, A-M*. [S.l.], 2009. Acessado em 23 de setembro de 2010. Disponível em: <<http://www.intel.com/products/processor/manuals/>>.

INTEL. *Intel® 64 and IA-32 Architectures Software Developer's Manual – Volume 2B: Instruction Set Reference, N-Z*. [S.l.], 2009. Acessado em 23 de setembro de 2010. Disponível em: <<http://www.intel.com/products/processor/manuals/>>.

INTEL. *Intel® 64 and IA-32 Architectures Software Developer's Manual – Volume 3A: System Programming Guide, Part 1*. [S.l.], 2009. Acessado em 23 de setembro de 2010. Disponível em: <<http://www.intel.com/products/processor/manuals/>>.

INTEL. *Intel® 64 and IA-32 Architectures Software Developer's Manual – Volume 1: Basic Architecture*. [S.l.], 2009. Acessado em 24 de setembro de 2010. Disponível em: <<http://www.intel.com/products/processor/manuals/>>.

KOES, D. R.; GOLDSTEIN, S. C. Near-optimal instruction selection on dags. In: *CGO '08: Proceedings of the 6th annual IEEE/ACM international symposium on Code generation and optimization*. New York, NY, USA: ACM, 2008. p. 45–54. ISBN 978-1-59593-978-4.

KRALL, A.; GRAFL, R. Cacao - a 64 bit javavm just-in-time compiler. In: . [S.l.]: ACM, 1997. p. 1017–1030.

LATTNER, C.; ADVE, V. Llvm: A compilation framework for lifelong program analysis & transformation. In: *CGO '04: Proceedings of the international symposium on Code generation and optimization*. Washington, DC, USA: IEEE Computer Society, 2004. p. 75. ISBN 0-7695-2102-9.

LEWIS, B. T. An on-the-fly bytecode compiler for tcl. In: *TCLTK'96: Proceedings of the 4th conference on USENIX Tcl/Tk Workshop, 1996*. Berkeley, CA, USA: USENIX Association, 1996.

MUCHNICK, S. S. *Advanced Compiler Design and Implementation*. [S.l.]: Morgan Kaufmann, 1997.

OUSTERHOUT, J. K. *Tcl: An Embeddable Command Language*. [S.l.], Nov 1989.

Disponível em: <<http://www.eecs.berkeley.edu/Pubs/TechRpts/1989/5742.html>>.

POLETTI, M.; SARKAR, V. Linear scan register allocation. *ACM Trans. Program. Lang. Syst.*, ACM, New York, NY, USA, v. 21, n. 5, p. 895–913, 1999. ISSN 0164-0925.

RIGO, A. Representation-based just-in-time specialization and the psyco prototype for python. In: *PEPM '04: Proceedings of the 2004 ACM SIGPLAN symposium on Partial evaluation and semantics-based program manipulation*. New York, NY, USA: ACM, 2004. p. 15–26. ISBN 1-58113-835-0.

RIGO, A.; PEDRONI, S. Pypy's approach to virtual machine construction. In: *OOPSLA '06: Companion to the 21st ACM SIGPLAN symposium on Object-oriented programming systems, languages, and applications*. New York, NY, USA: ACM, 2006. p. 944–953. ISBN 1-59593-491-X.

SAH, A. *TC: An Efficient Implementation of the Tcl Language*. [S.l.], Apr 1994. Disponível em: <<http://www.eecs.berkeley.edu/Pubs/TechRpts/1994/5189.html>>.

Santa Cruz Operation. *System V Application Binary Interface*. 4. ed. 1997. Acessado em 24 de setembro de 2010. Disponível em: <<http://www.sco.com/developers/devspecs/abi386-4.pdf>>.

SUGANUMA, T. et al. Evolution of a java just-in-time compiler for ia-32 platforms. *IBM J. Res. Dev.*, IBM Corp., Riverton, NJ, USA, v. 48, n. 5/6, p. 767–795, 2004. ISSN 0018-8646.

SUGANUMA, T.; YASUE, T.; NAKATANI, T. A region-based compilation technique for a java just-in-time compiler. In: *In Proceedings of the ACM SIGPLAN 2003 Conference on Programming Language Design and Implementation*. [S.l.]: ACM Press, 2003. p. 312–323.

VITALE, B.; ABDELRAHMAN, T. S. Catenation and specialization for tcl virtual machine performance. In: *In IVME '04 Proceedings*. [S.l.]: ACM Press, 2004. p. 42–50.

WELCH, B. Customization and flexibility in the exmh mail user interface. In: *TCLTK '98: Proceedings of the 3rd Annual USENIX Workshop on Tcl/Tk*. Berkeley, CA, USA: USENIX Association, 1995.

WIMMER, C.; FRANZ, M. Linear scan register allocation on ssa form. In: *CGO '10: Proceedings of the 8th annual IEEE/ACM international symposium on Code generation and optimization*. New York, NY, USA: ACM, 2010. p. 170–179.



## Apêndice A

Código 1: Alocação de página(s) para o compilador JIT

---

```
void *
newpage(void *size)
{
    void *page;
#ifdef _WIN32
    page = VirtualAlloc(NULL, *((DWORD *)size),
                        MEM_COMMIT | MEM_RESERVE,
                        PAGE_EXECUTE_READWRITE);

    if (!page) {
        perror("VirtualAlloc");
        exit(1);
    }
#else
    page = mmap(NULL, *((size_t *)size),
                PROT_READ | PROT_WRITE | PROT_EXEC,
                MAP_ANON | MAP_PRIVATE, 0, 0);

    if (page == MAP_FAILED) {
        perror("mmap");
        exit(1);
    }
#endif
    return page;
}
```

---

Código 2: Tamanho, em bytes, de uma página

---

```
#ifdef _WIN32
DWORD
pagesize(void)
{
    DWORD pagesize;
    SYSTEM_INFO si;
    GetSystemInfo(&si);
    return si.dwPageSize;
}
#else
int pagesize(void)
{
    return getpagesize();
}
#endif
```

---

---

Código 3: Remoção da permissão de escrita de uma ou mais páginas

---

```
void
pagenowrite(void *page, size_t len)
{
#ifdef _WIN32
    DWORD oldProtect;
    if (VirtualProtect(page, len, PAGE_EXECUTE_READ,
                        &oldProtect) == 0) {
        perror("VirtualProtect");
        exit(1);
    }
#else
    if (mprotect(page, len, PROT_READ | PROT_EXEC) < 0) {
        perror("mprotect");
        exit(1);
    }
#endif
}
```

---

Tabela 3: Variações das instruções codificadas, sintaxe AT&T

Opcode	Instrução	Cod. Oper.	Macro
0x83 /0 ib	ADD imm8,r/m32	A	ADD_IMM8_REG
0xFF /2	CALL r/m32	B	CALL_ABSOLUTE_REG
0xFF /0	INC r/m32	C	INC_DREG
0x89 /r	MOV r32,r/m32	D	MOV_REG_REG
0xB8+rd	MOV imm32,r32	E	MOV_IMM32_REG MOV_DISP8DREG_REG
0x58+rd	POP r32	F	POP_REG
0x50+rd	PUSH r32	G	PUSH_REG
0xFF /6	PUSH r/m32	B	PUSH_DISP8REG
0x33 /r	XOR r32,r/m32	A	XOR_REG_REG

Tabela 4: Codificações para os operandos da tabela 3

Cod. Oper.	Operando 1	Operando 2
A	imm8	ModRM:r/m (r,w)
B	ModRM:r/m (r)	
C	ModRM:r/m (r,w)	
D	ModRM:reg (r)	ModRM:r/m (w)
E	imm32	reg (w)
F	reg (w)	
G	reg (r)	